

# EL 42D

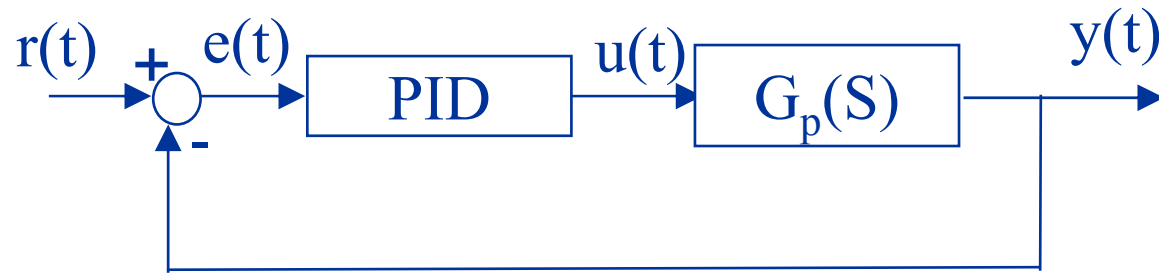
# Control de Sistemas

Profesora: Dra. Doris Sáez H.  
Departamento de Ingeniería Eléctrica  
Universidad de Chile

# Unidad 2: Diseño de Controladores Proporcional, Derivativo, Integral :

Elaborado por: D. Sáez  
Colaboradores: N. Castro, J. Contreras & G. Sáez

# Controlador Proporcional, Integral, Derivativo:PID Continuo



$$e(t) = r(t) - y(t)$$

$u(t) = f(e(t))$  Controlador

# Controlador PID Continuo

$$u(t) = K_p e(t) + \frac{K_p}{T_i} \int_0^t e(t) dt + K_p T_d \frac{de(t)}{dt}$$

$$\frac{U(S)}{E(S)} = K_p \left( 1 + \frac{1}{T_i S} + T_d S \right)$$

# Controlador PID Continuo

## a) Control Proporcional

$$u(t) = K_p e(t)$$

$$G_c(S) = \frac{U(s)}{E(s)} = K_p$$

Caso planta de 2º orden

$$G_p(S) = \frac{1}{S^2 + aS + b}$$

$$\frac{Y(s)}{R(s)} = \frac{G_p(S)G_c(S)}{1 + G_p(S)G_c(S)} = \frac{K_p}{S^2 + aS + b + K_p}$$

# Controlador PID Continuo

## Ecuación característica

$$S^2 + aS + b + K_p = 0$$

$$S^2 + 2\xi\omega_n + \omega_n^2 = 0$$

$$K_p \longrightarrow \omega_n \longrightarrow T_s$$

$$K_p \not\longrightarrow \xi \not\longrightarrow S_p$$

$$T_s = \frac{3.2}{\xi\omega_n} \quad \xi < 0.69$$

$$S_p = Mov = e^{-\frac{\pi\xi}{\sqrt{1-\xi^2}}}$$

# Controlador PID Continuo

b) Acción integral

$$u(t) = \frac{K_p}{T_i} \int_0^t e(t) dt \quad G_C(S) = \frac{U(S)}{E(S)} = \frac{K_p}{T_i S} = \frac{K_i}{S}$$

Elimina el error permanente  $e_{ss}$ .

# Controlador PID Continuo

## b) Acción integral

Caso planta de 2º orden

$$G_p(S) = \frac{1}{S^2 + aS + b}$$

$$G_c(S) = \frac{K_p}{T_i S}$$

$$G_c(S) = \frac{K_i}{S} \quad \text{con} \quad K_i = \frac{K_p}{T_i}$$

# Controlador PID Continuo

## b) Acción integral

$$\frac{Y(S)}{R(S)} = \frac{K_i}{(S^2 + aS + b)S + K_i}$$

$$E(S) = R(S) - Y(S) = \frac{(S^2 + aS + b)S}{(S^2 + aS + b)S + K_i} R(S)$$

$$= \frac{(S^2 + aS + b)\cancel{S}}{(S^2 + aS + b)S + K_i} \frac{1}{\cancel{S}}$$

Si  $R(S) = \frac{1}{S}$        $e_{ss} = \lim_{S \rightarrow \infty} S E(S) = \frac{S(S^2 + aS + b)}{(S^2 + aS + b)S + K_i} = 0$

# Controlador PID Continuo

## b) Acción integral

- Elimina error permanente.
- Agrega un polo en el origen de la función de transferencia en lazo abierto (lazo directo)
- Además, la acción integral es desestabilizadora, razón por la cual va siempre acompañada por la acción proporcional

# Controlador PID Continuo

## c) Acción derivativa

$$u(t) = K_p T_d \frac{de(t)}{dt}$$

$$G_C(S) = \underbrace{K_p T_d}_{{K_d}} S$$

$$G_C(S) = K_d S$$

## Caso planta de 2º orden

$$G_P(S) = \frac{1}{S^2 + aS + b}$$

$$G_C(S) \cdot G_P(S) = \frac{K_d S}{S^2 + aS + b}$$

# Controlador PID Continuo

## c) Acción derivativa

$$\frac{Y(S)}{R(S)} = \frac{K_P T_d S}{S^2 + aS + b + K_P T_d S}$$

Ecuación característica

$$S^2 + (a + K_P T_d)S + b = 0$$
$$S^2 + 2\xi\omega_n + \omega_n^2 = 0$$

Modifica  $\xi$    $S_p, T_s$

# Controlador PID Continuo

## c) Acción derivativa

- Agrega un cero en el origen de la función de transferencia en lazo abierto.
- La acción derivativa representa la tendencia del cambio, es decir, es una proyección hacia donde se desplazará el proceso en el futuro.

# Controlador PID Continuo

$$u(t) = K_p e(t) + \frac{K_p}{T_i} \int_0^t e(t) dt + K_p T_d \frac{de(t)}{dt}$$

$$\frac{U(S)}{E(S)} = K_p \left( 1 + \frac{1}{T_i S} + T_d S \right)$$

# Controlador PID discreto

$$U(S) = K_p \left( 1 + \frac{1}{T_i S} + T_d S \right)$$

$$U(Z) = \left[ K_{Pd} + \frac{K_{Id}}{1 - Z^{-1}} + K_{Dd}(1 - Z^{-1}) \right] E(Z)$$

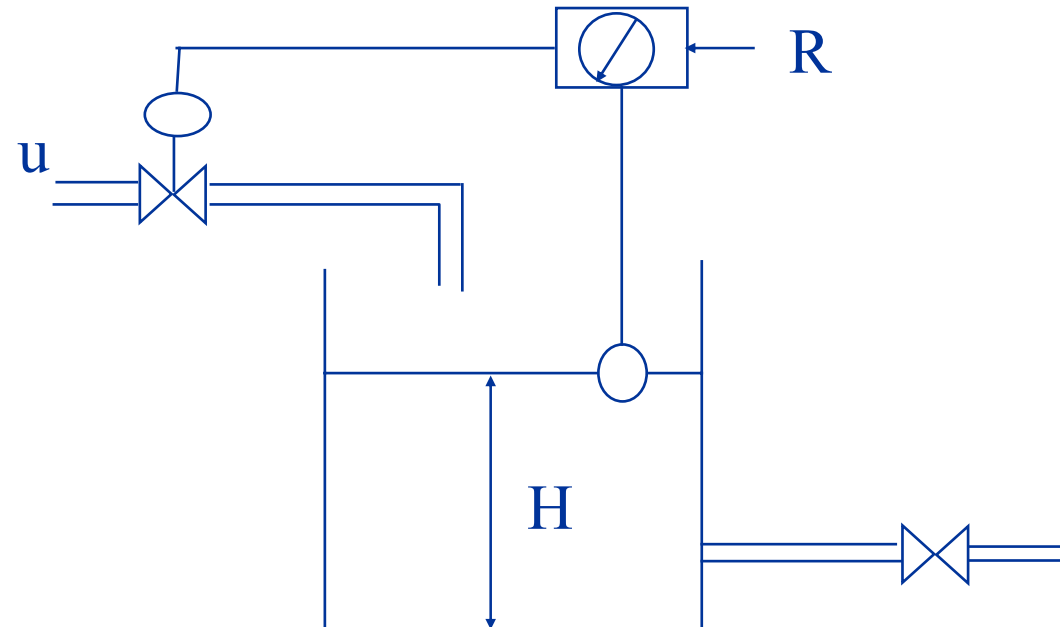
$$K_{Pd} = K_p - \frac{K_p T}{2T_i} \quad T: \text{tiempo de muestreo}$$

$$K_{Id} = \frac{K_p T}{T_i}$$

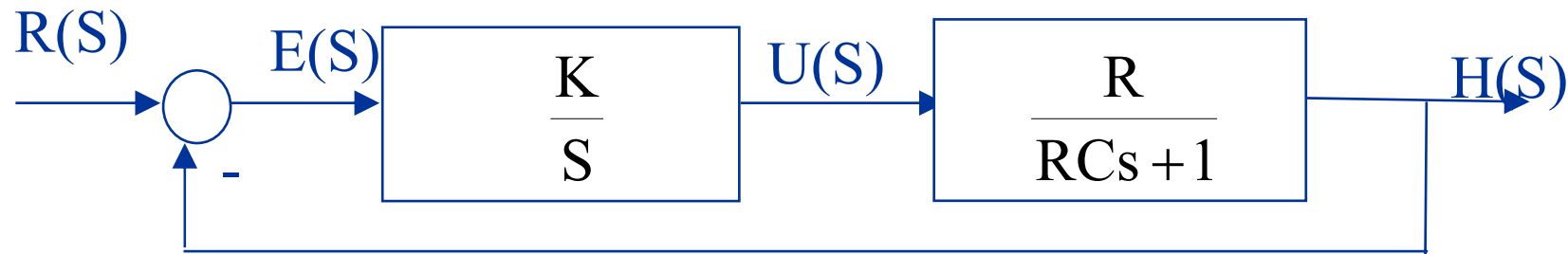
$$K_{Dd} = \frac{K_p T_d}{T}$$

# Efectos de las acciones de control integral y derivativo sobre el desempeño de un sistema

Ejemplo: Control integral de los sistemas de control de nivel de líquido



# Efectos de las acciones de control integral y derivativo sobre el desempeño de un sistema



$$\frac{H(S)}{R(S)} = \frac{KR}{RC^2 + S^2 + KR}$$

$$E(S) = R(S) - H(S) = \frac{RCS^2 + S}{RCS^2 + S + KR} R(S)$$

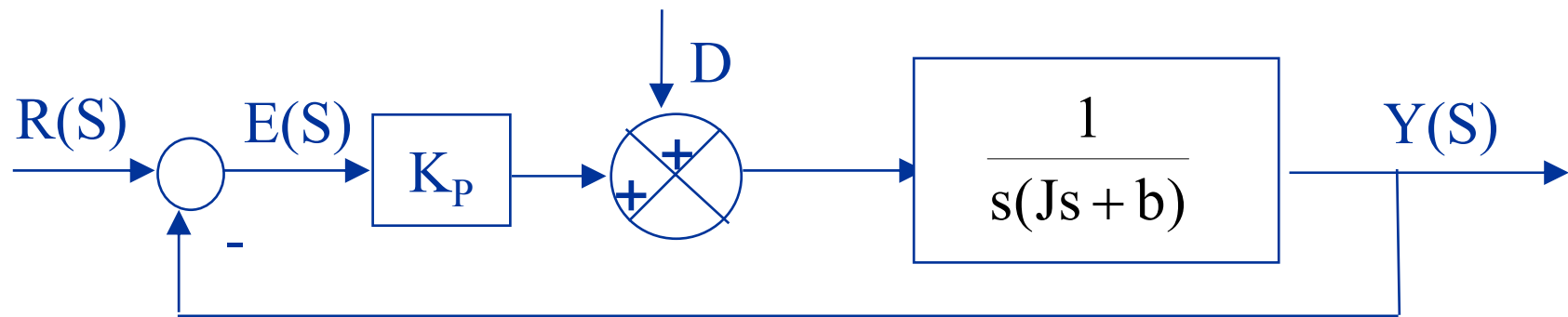
# Efectos de las acciones de control integral y derivativo sobre el desempeño de un sistema

Si  $U(s) = 1/s$       escalón

$$e_{ss} = \lim_{s \rightarrow 0} E(s) = \lim_{s \rightarrow 0} \frac{S(RCS^2 + S)}{(RCS^2 + S + KR)} \frac{1}{S} = 0$$

elimina el error de régimen permanente

## Control Proporcional: Respuesta a perturbaciones (D)



$$\text{Si } R(s)=0 \longrightarrow Y(S) = \frac{1}{s(JS+b)} (D(S) + K_p(-Y(S)))$$

$$Y(S) \cdot (S(JS+b) + K_p) = D(S)$$

$$\frac{Y(S)}{D(S)} = \frac{1}{JS^2 + bS + K_p}$$

## Control Proporcional: Respuesta a perturbaciones (D)

$$E(S) = -Y(S) = \frac{-D(S)}{JS^2 + bS + K_p}$$

$$\frac{E(S)}{D(S)} = \frac{-1}{JS^2 + bS + K_p}$$

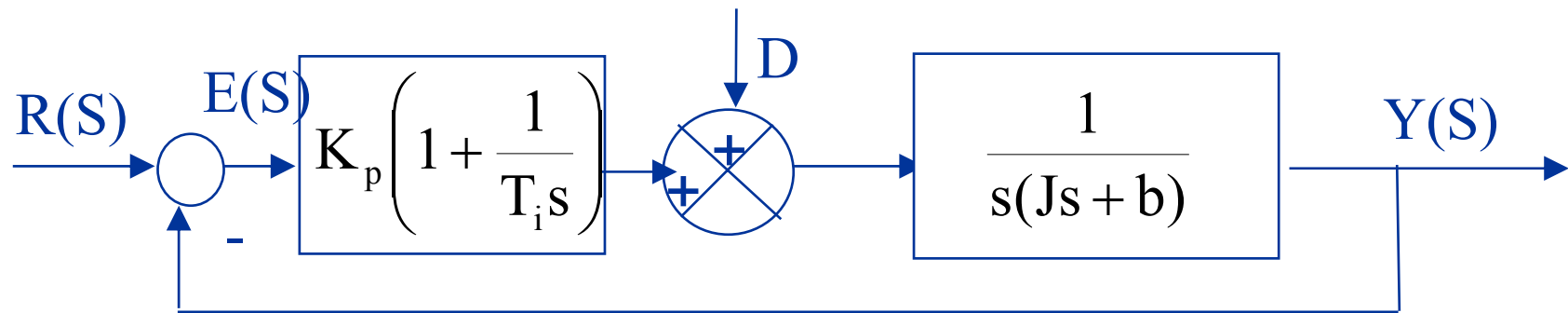
El error en régimen permanente producido por una perturbación escalón de magnitud  $\delta_0$  es:

$$e_{ss} = \lim_{S \rightarrow 0} SE(S) = \lim_{S \rightarrow 0} \frac{-S}{JS^2 + bS + K_p} \frac{\delta_0}{S} = -\frac{\delta_0}{K_p}$$

La salida en régimen permanente es  $y_{ss} = \delta_0 / K_p$

\* El  $e_{ss}$  se reduce si  $K_p$  se aumenta

## Control proporcional-integral: Respuesta a perturbaciones (D)



$$Y(S) = \frac{1}{S(JS + b)} \left( D + K_p \left(1 + \frac{1}{T_i S}\right)(-Y) \right)$$

$$(S(JS + b)T_i S + K_p(T_i S + 1))Y = T_i S D$$

$$\left( JS^3 + bS^2 + K_p S + \frac{K_p}{T_i} \right) Y = S D$$

## Control proporcional-integral: Respuesta a perturbaciones (D)

$$\frac{Y(S)}{D(S)} = \frac{S}{JS^2 + bS^2 + K_p S + \frac{K_p}{T_i}}$$

$$E(S) = -Y(S) = \frac{-S}{JS^3 + bS^2 + K_p S + \frac{K_p}{T_i}} D(S)$$

## Control proporcional-integral: Respuesta a perturbaciones (D)

Si el sistema de control es estable, es decir, la ecuación característica  $JS^3 + bS^2 + K_pS + \frac{K_p}{T_i} = 0$  tiene raíces con partes reales negativas, entonces el error en régimen permanente ante la perturbación escalón unitario es:

$$e_{ss} = \lim_{S \rightarrow 0} SE(S) = \lim_{S \rightarrow 0} S \frac{-S}{\left( JS^3 + bS^2 + K_pS + \frac{K_p}{T_i} \right)} \frac{1}{S} = 0$$

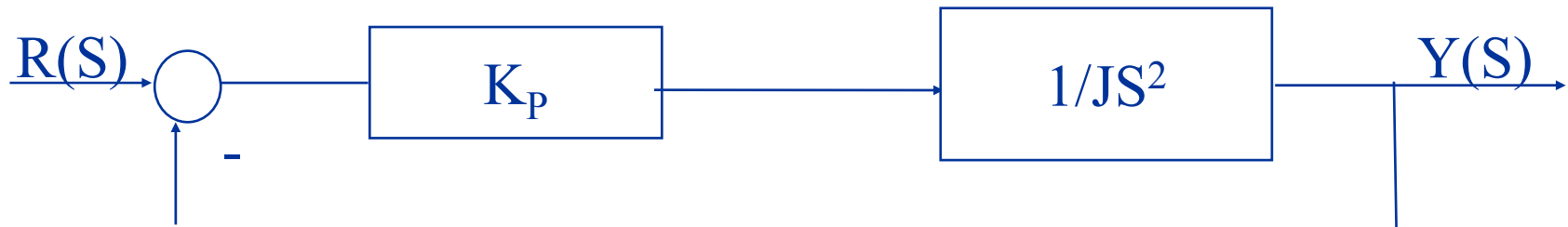
## Control proporcional-integral: Respuesta a perturbaciones (D)

Si hay sólo acción integral para este caso, la ecuación característica sería

$$JS^3 + bS^2 + K = 0 \quad G_C(S) = \frac{K}{S}$$

Esto entrega raíces con parte real positiva por lo tanto, el sistema sería inestable.

## Control proporcional: Sistema de carga de inercia

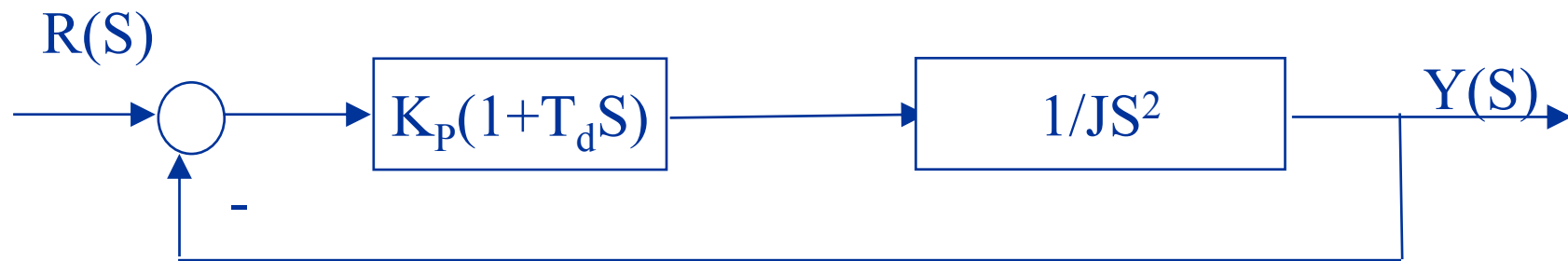


$$\frac{Y(S)}{R(S)} = \frac{K_p}{JS^2 + K_p}$$

Ecuación característica:

$JS^2 + K = 0$      $\longrightarrow$  Sistema oscila  
indefinidamente

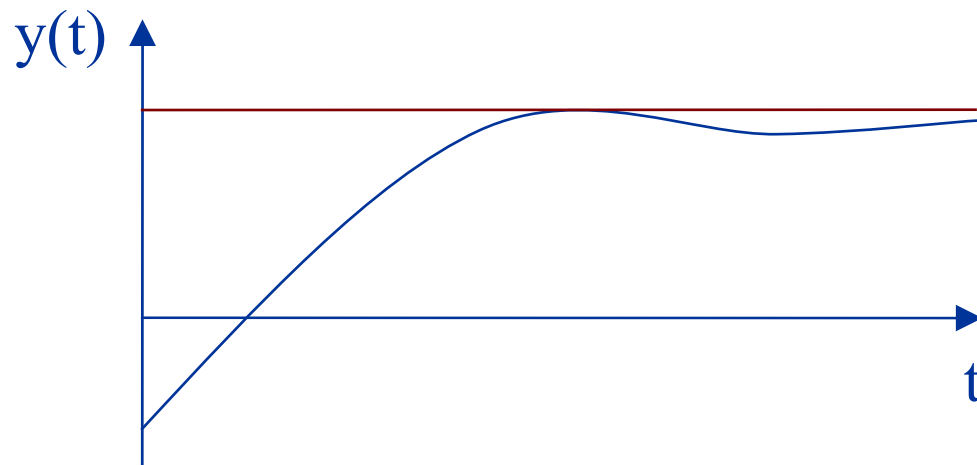
## Control proporcional-derivativo: Sistema de carga de inercia



$$\frac{Y(S)}{R(S)} = \frac{K_P(1 + T_d S)}{JS^2 + K_P T_d S + K_P}$$

La ecuación característica:  $JS^2 + K_P T_d S + K_P = 0$   
tiene 2 raíces con parte real negativa para  $J, K_P, T_d > 0$

## Control proporcional-derivativo: Sistema de carga de inercia



El control derivativo predice el sobre paso adelantándose en el tiempo y produce una respuesta adecuada antes de que ocurra un sobrepaso demasiado grande.

# Sintonización de Controladores PID

## Motivación

- La mayoría de los controladores industriales que se usan hoy en día utilizan esquemas de control PID.
- Estos controladores aportan un control satisfactorio en la mayoría de los sistemas de control.

# Métodos de Sintonización

- 1) Límite de Estabilidad – Ziegler & Nichols
- 2) Curva de Reacción – Ziegler & Nichols
- 3) Criterio de López
- 4) Control por Modelo Interno (IMC)

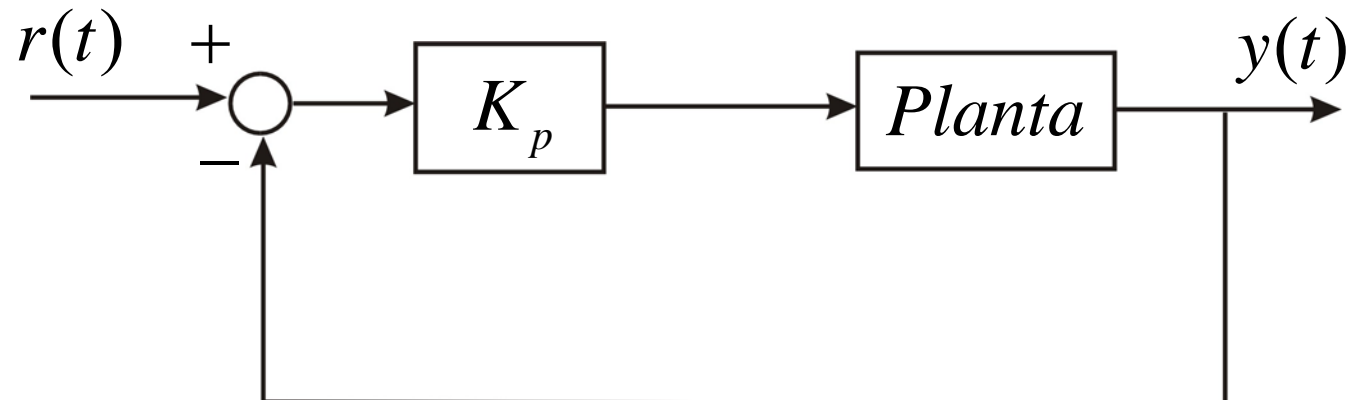
# Ziegler-Nichols

- Los métodos de Ziegler-Nichols proponen encontrar los parámetros de un controlador PID en base a un modelo específico de una planta.
- En ambos métodos se pretende obtener un 25% de sobrepasso máximo en la respuesta al escalón.

# Límite de Estabilidad

## Ziegler & Nichols

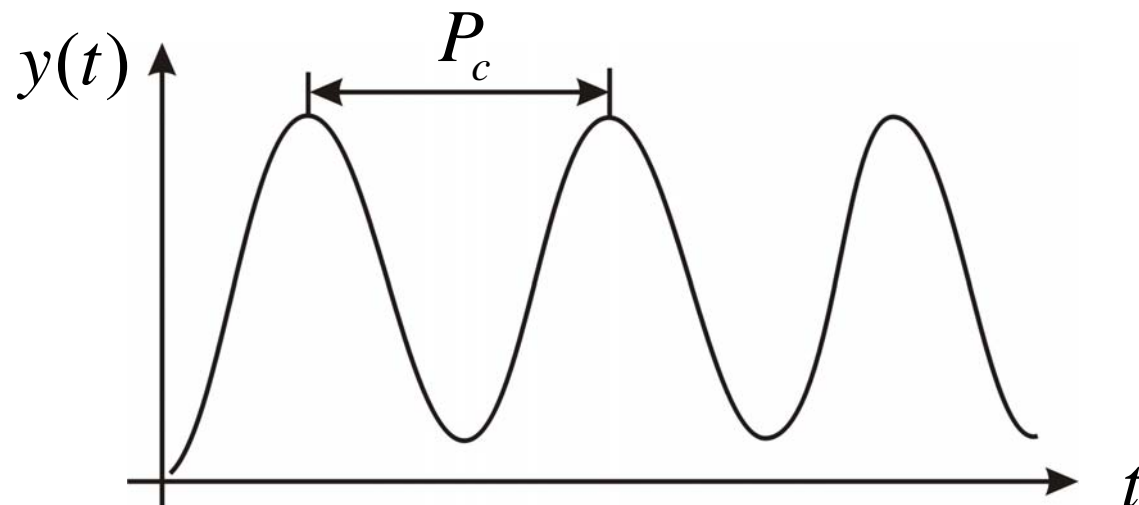
1. Utilizando sólo control proporcional, comenzando con un valor pequeño, incrementar la ganancia hasta que el sistema comience a oscilar.



# Límite de Estabilidad

## Ziegler & Nichols

2. Registrar la ganancia crítica del controlador  $K_p = K_c$  (crítico) y el período de oscilación de la salida del controlador  $P_c$ .



# Límite de Estabilidad

## Ziegler & Nichols

3. Ajustar los parámetros del controlador según la siguiente tabla.

Tipo de controlador	$K_p$	$T_i$	$T_d$
P	$0.50K_c$	$\infty$	0
PI	$0.45K_c$	$P_c / 1.2$	0
PID	$0.60K_c$	$0.5P_c$	$P_c / 8$

# Límite de Estabilidad

## Ziegler & Nichols

- Para resolver el problema analíticamente,  $K_c$  y  $\omega_c$  se pueden encontrar mediante Routh-Hurwitz

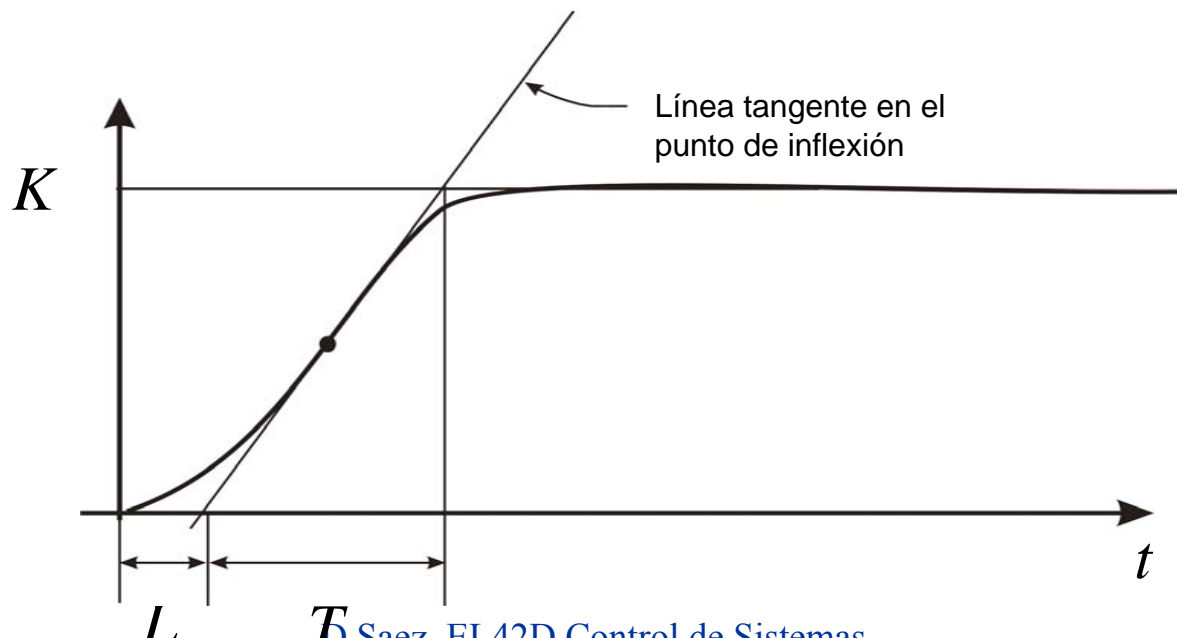
# Curva de Reacción Ziegler & Nichols

- La respuesta del proceso (lazo abierto) puede ser caracterizada por la siguiente aproximación de primer orden con retardo:

$$\frac{Y(s)}{U(s)} = \frac{Ke^{-Ls}}{Ts + 1}$$

# Curva de Reacción Ziegler & Nichols

- A partir de la respuesta al escalón de la planta se obtienen los parámetros  $K$ ,  $L$  y  $T$  que caracterizan la aproximación.



# Curva de Reacción Ziegler & Nichols

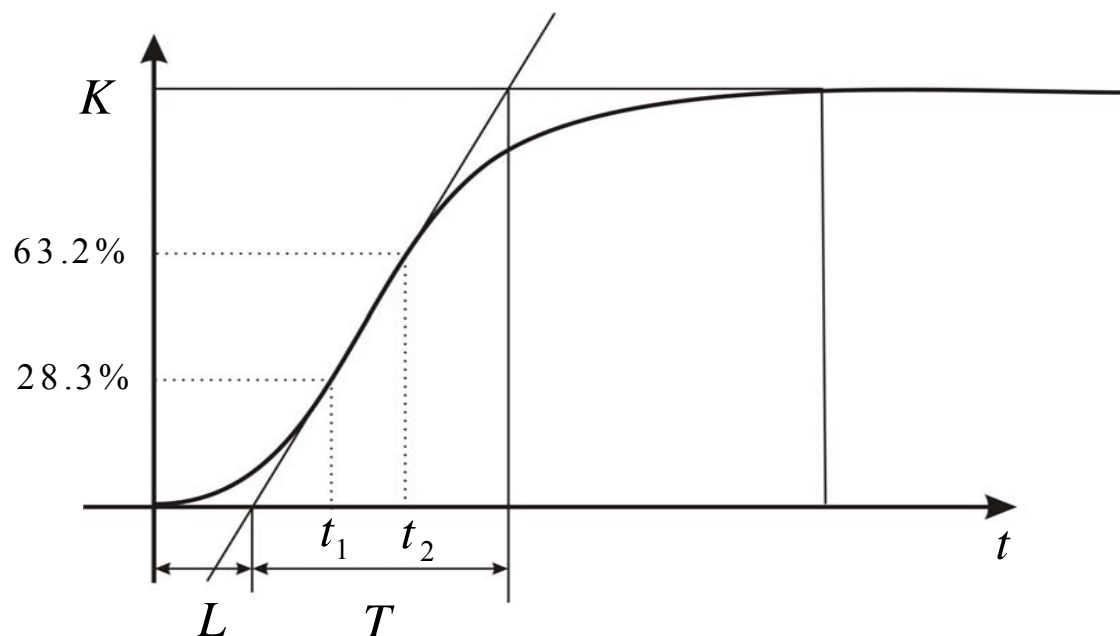
- Los valores L y T además se pueden calcular fácilmente de las siguientes ecuaciones:

$$T = 1.5(t_2 - t_1)$$

$$L = 1.5(t_1 - \frac{1}{3}t_2)$$

# Curva de Reacción Ziegler & Nichols

- Los valores  $t_1$  y  $t_2$  se obtienen del siguiente gráfico.



# Curva de Reacción Ziegler & Nichols

- Conocidos L y T, los parámetros del controlador se obtienen de la siguiente tabla.

Tipo de controlador	$K_p$	$T_i$	$T_d$
P	$\frac{T}{LK}$	$\infty$	0
PI	$0.9 \frac{T}{LK}$	$\frac{L}{0.3}$	0
PID	$1.2 \frac{T}{LK}$	$2L$	$0.5L$

# Criterio de López

- Según el criterio de López los parámetros del PID se encuentran en base a la minimización de los índices de funcionamiento.
- Para esto se asume que la respuesta se aproxima por una función de transferencia de primer orden con retardo.

# Índices de Funcionamiento

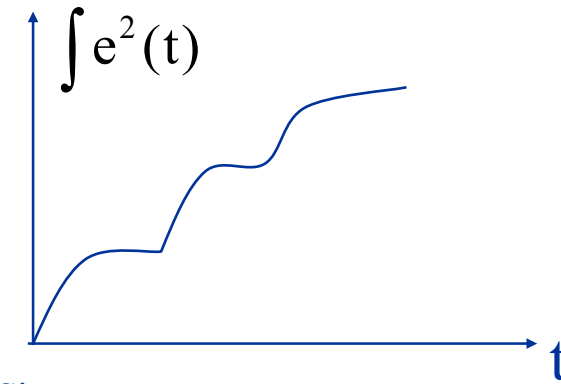
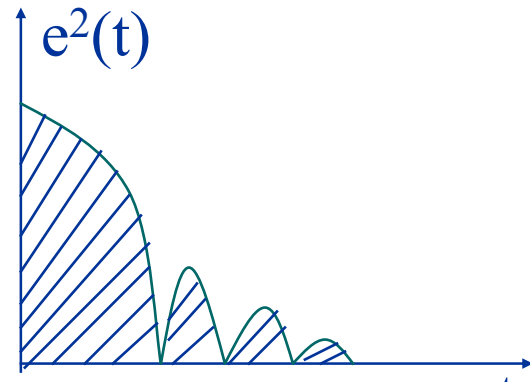
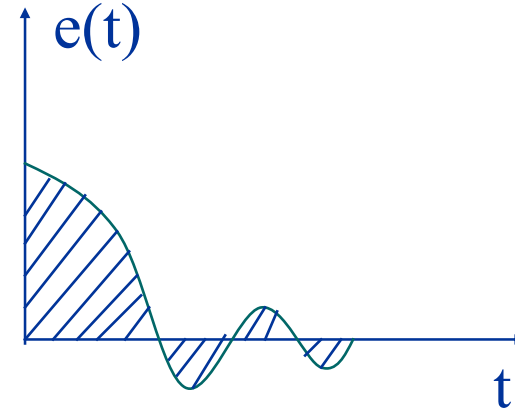
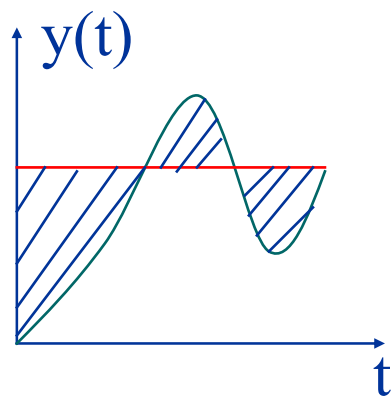
## Criterio de López

Medida cuantitativa del funcionamiento de un sistema y se elige de forma que resalte las especificaciones del sistema

$$\text{Min } I_1 = \int_0^T e^2(t) \quad (\text{ISE})$$

$$e(t) = r(t) - y(t)$$

# Índices de Funcionamiento Criterio de López



# Índices de Funcionamiento Criterio de López

$$\text{Min } I_2 = \int_0^T |e(t)| dt \quad (\text{IAE})$$

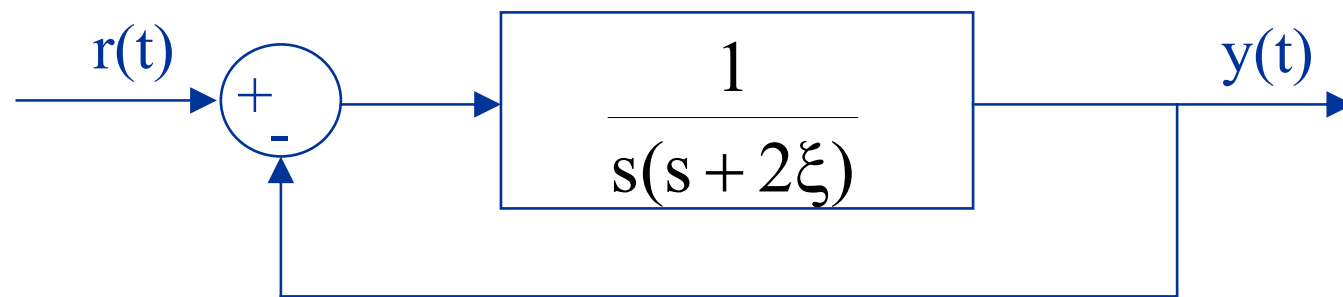
$$\text{Min } I_3 = \int_0^T t |e(t)| dt \quad (\text{ITAE})$$

$$\text{Min } I_4 = \int_0^T t e^2(t) dt \quad (\text{ITSE})$$

$$\text{Forma general : } I = \int_0^T f(e(t), r(t), y(t), t) dt \rightarrow u(t)$$

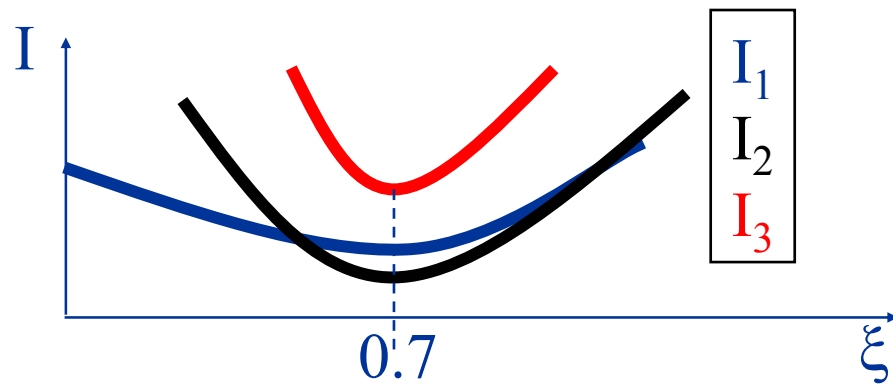
$$u(t) = f(y(t), \dots)$$

## Ejemplo



$$\frac{Y(s)}{R(s)} = \frac{1}{s^2 + 2\xi s + 1} \quad (\omega_n = 1)$$

# Índices de Funcionamiento Criterio de López



$\xi = 0.7$  óptimo para  $I_3$ , que para un sistema de segundo orden produce una respuesta rápida ante un escalón con un sobre nivel del 5%

# Índices de Funcionamiento

## Criterio de López

Control	Criterio	a	b	c	d	e	f
P	IAE	0.902	0.985				
	ISE	1.411	0.917				
	ITAE	0.490	1.084				
	Z&N	1.0	1.0				
PI	IAE	0.984	0.986	1.644	0.707		
	ISE	1.305	0.952	2.033	0.739		
	ITAE	0.859	0.917	1.484	0.680		
	Z&N	0.909	1.0	3.333	1.0		
PID	IAE	1.435	0.921	1.139	0.749	0.482	1.13
	ISE	1.495	0.945	0.917	0.771	0.560	1.00
	ITAE	1.357	0.947	1.176	0.738	0.381	0.99
	Z&N	1.20	Saez. EL420	Control de Sistemas.	1.0	0.5	1.046

# Índices de Funcionamiento

## Criterio de López

- A partir de la tabla y las siguientes relaciones, se obtienen los parámetros del PID:

$$K_p = \frac{a}{K} \left( \frac{L}{T} \right)^{-b} \quad T_d = Te \left( \frac{L}{T} \right)^f \quad T_i = Tc \left( \frac{L}{T} \right)^d$$

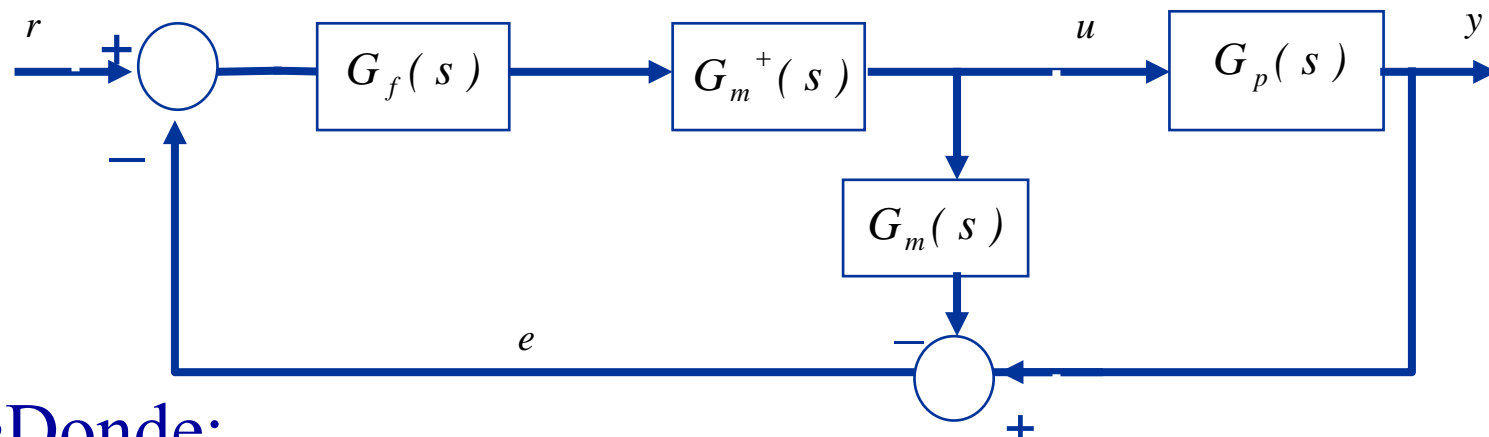
# Índices de Funcionamiento

## Criterio de López

- Ejemplo PI con ITAE:  $G(s) = \frac{10e^{-s}}{2s + 1}$

$$K_p = \frac{0.859}{10} \left( \frac{1}{2} \right)^{-0.917} = 1.62$$
$$T_i = 2 \cdot 1.484 \left( \frac{1}{2} \right)^{0.680} = 1.85$$

# Control por Modelo Interno (IMC)



•Donde:

$G_m^+(s)$ : Inverso aproximado de  $G_m(s)$

$G_m(s)$ : Modelo de la Planta

$G_f(s)$ : Filtro Pasabajos

# Control por Modelo Interno (IMC)

- Si  $G_m(s) = G_p(s) \Rightarrow e \equiv 0$
- Además, si  $G_f(s) = I \wedge G_m^+(s) = G_m^{-1}$  existe un perfecto seguimiento.
- En general se escoge como Filtro Pasabajos a un sistema de primer orden:

$$G_f(s) = \frac{1}{1 + T_f s}$$

# Control por Modelo Interno (IMC)

- La Función de Transferencia del Controlador:

$$G_c(s) = \frac{G_f(s) \cdot G_m^+(s)}{1 - G_f(s) \cdot G_m^+(s) \cdot G_m(s)}$$

- Si se considera que la planta se comporta como un sistema de Primer Orden con Retardo, es factible encontrar controladores PI o PID equivalentes.

# Control por Modelo Interno (IMC)

- En efecto, sea

$$G_m(s) = \frac{K_p}{Ts+1} e^{-sL} \quad G_m^+(s) = \frac{Ts+1}{K_p}$$

- Aproximando el retardo por Serie de Taylor:

$$e^{-sL} \approx 1 - sL$$

- El controlador queda:

$$G_c(s) = \frac{Ts + 1}{K_p s(L + T_f)} , \quad (PI)$$

# Control por Modelo Interno (IMC)

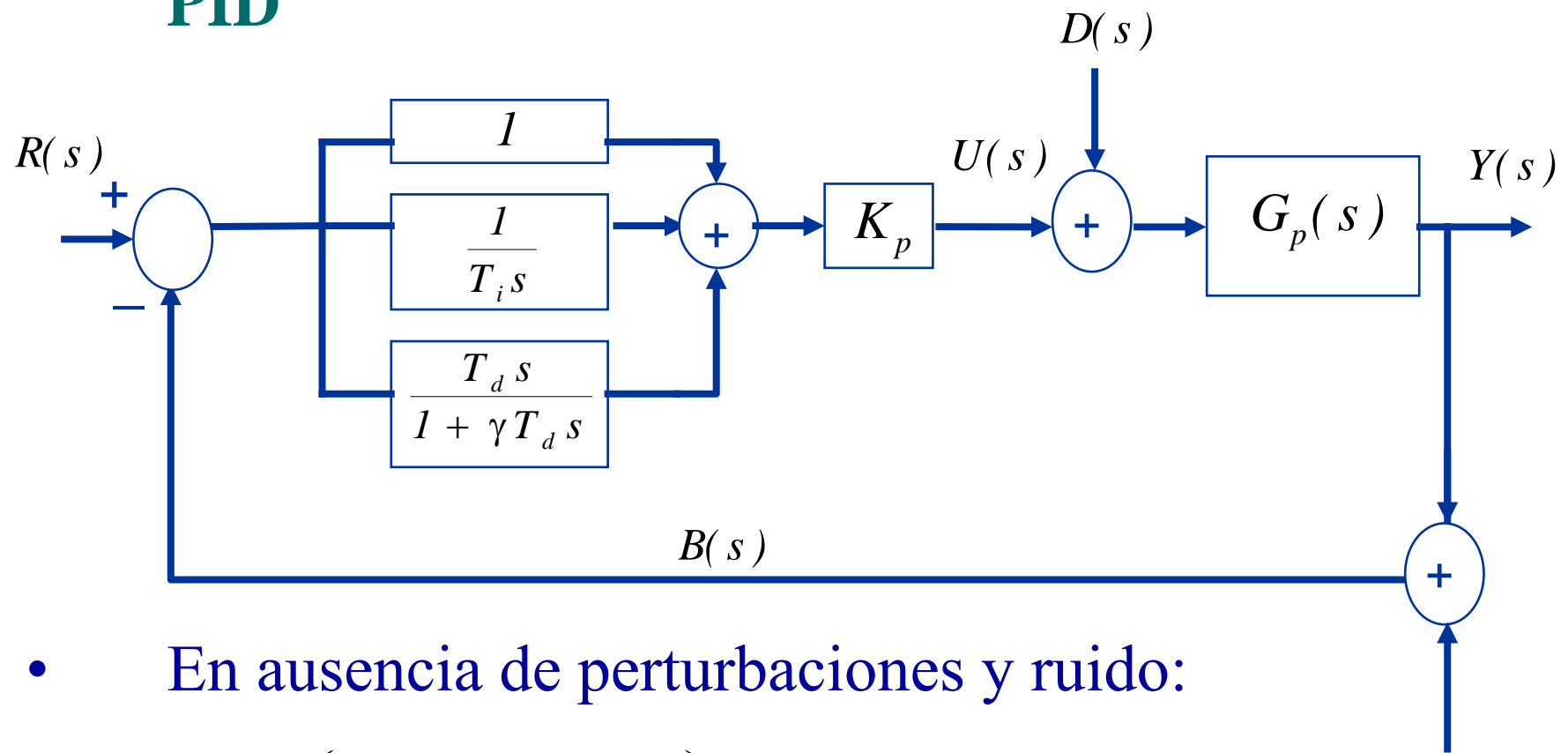
- Aproximando el retardo por Padé (1<sup>er</sup> orden):

$$e^{-sL} \approx \frac{1 - \frac{sL}{2}}{1 + \frac{sL}{2}}$$

- El controlador queda:

$$G_c(s) \approx \frac{\left(1 + \frac{sL}{2}\right)(Ts + 1)}{K_p s(L + T_f)} , \quad (\text{PID})$$

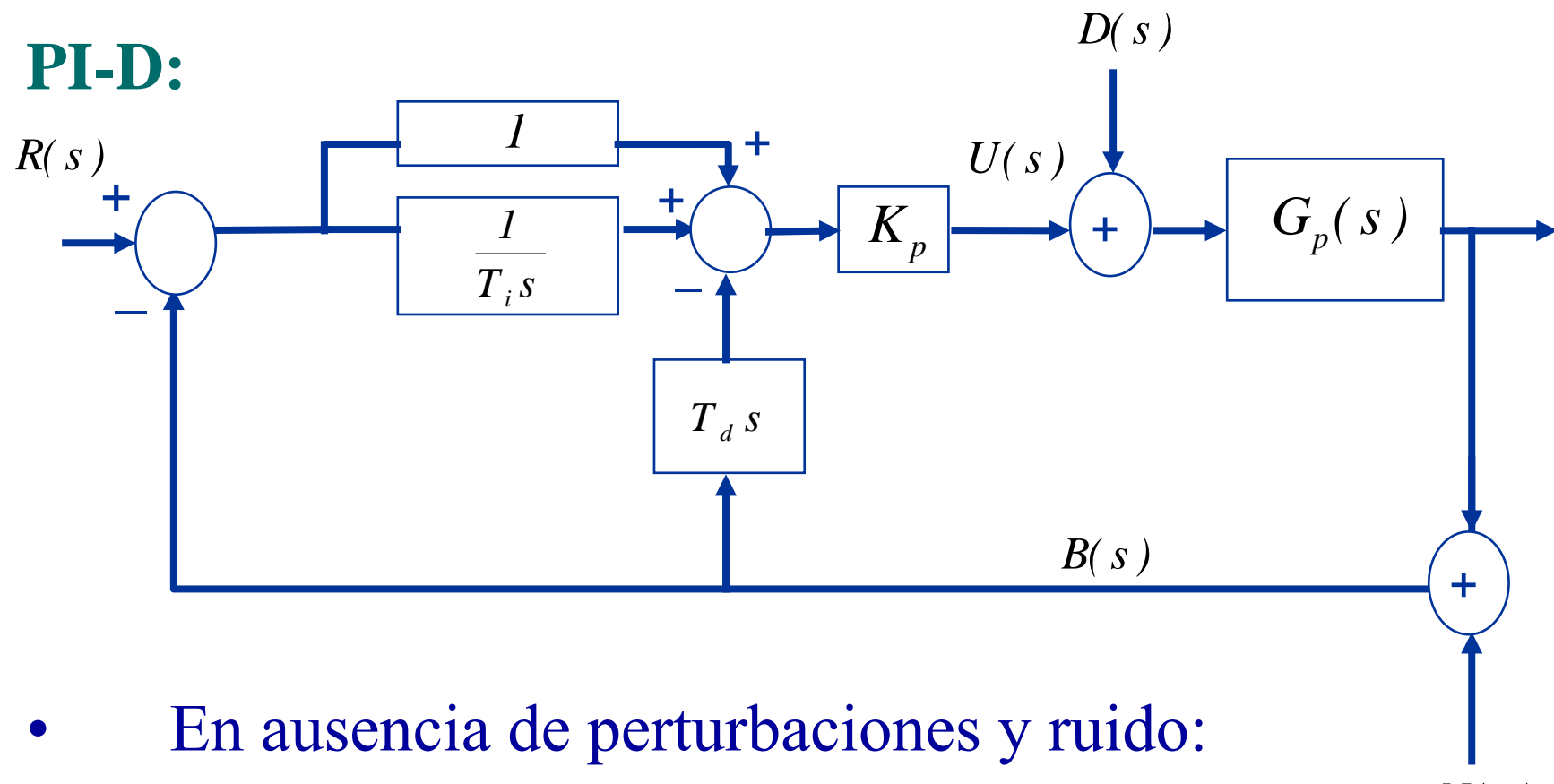
# MODIFICACIONES DE LOS ESQUEMAS DE CONTROL PID



- En ausencia de perturbaciones y ruido:

$$\frac{Y(s)}{R(s)} = \left( I + \frac{1}{T_i s} + \frac{T_d s}{1 + \gamma T_d s} \right) \frac{K_p G_p(s)}{I + \left( I + \frac{1}{T_i s} + \frac{T_d s}{1 + \gamma T_d s} \right) K_p G_p(s)}$$

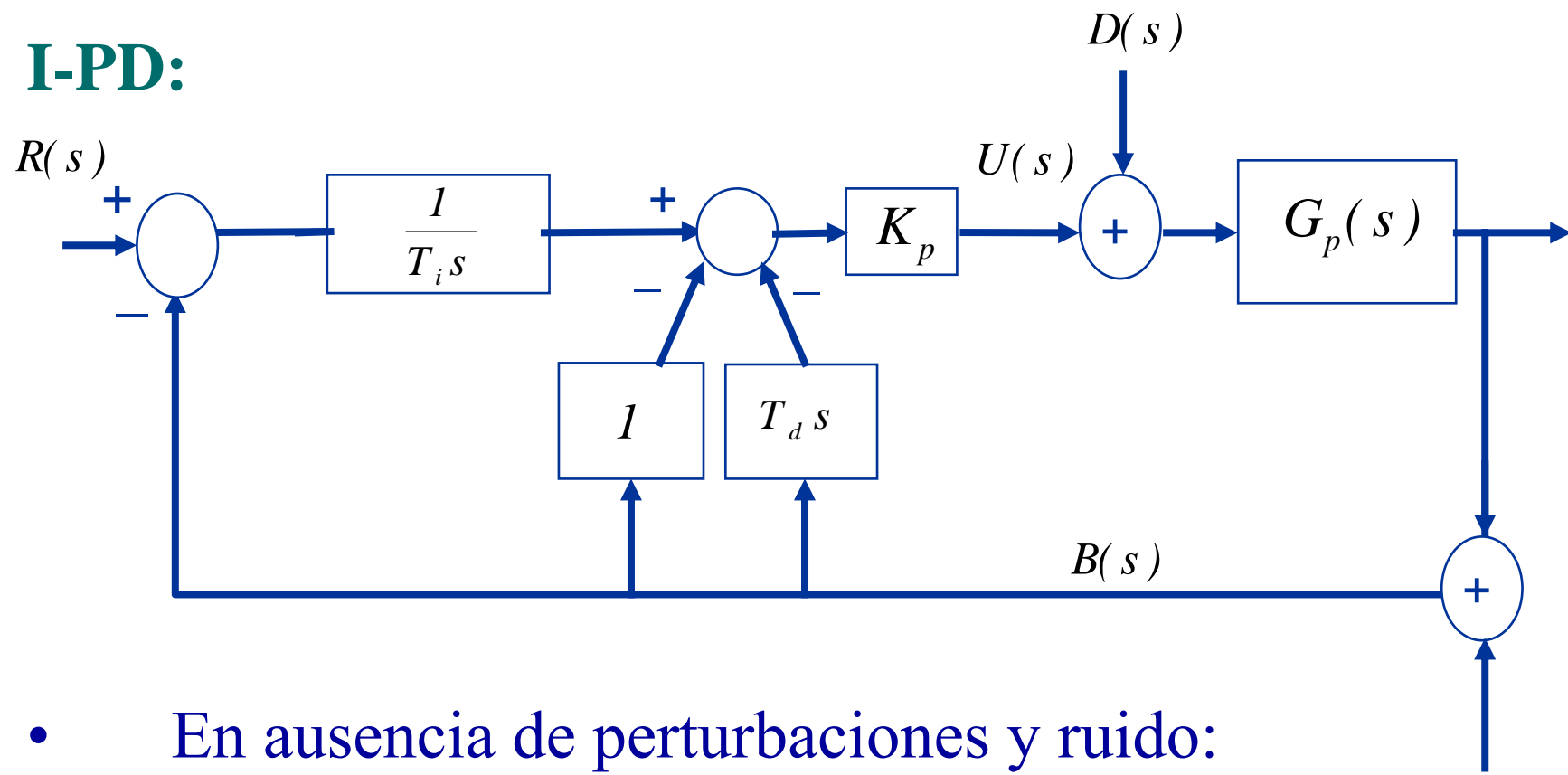
## PI-D:



- En ausencia de perturbaciones y ruido:

$$\frac{Y(s)}{R(s)} = \left( 1 + \frac{1}{T_i s} \right) \frac{K_p G_p(s)}{1 + \left( 1 + \frac{1}{T_i s} + T_d s \right) K_p G_p(s)}$$

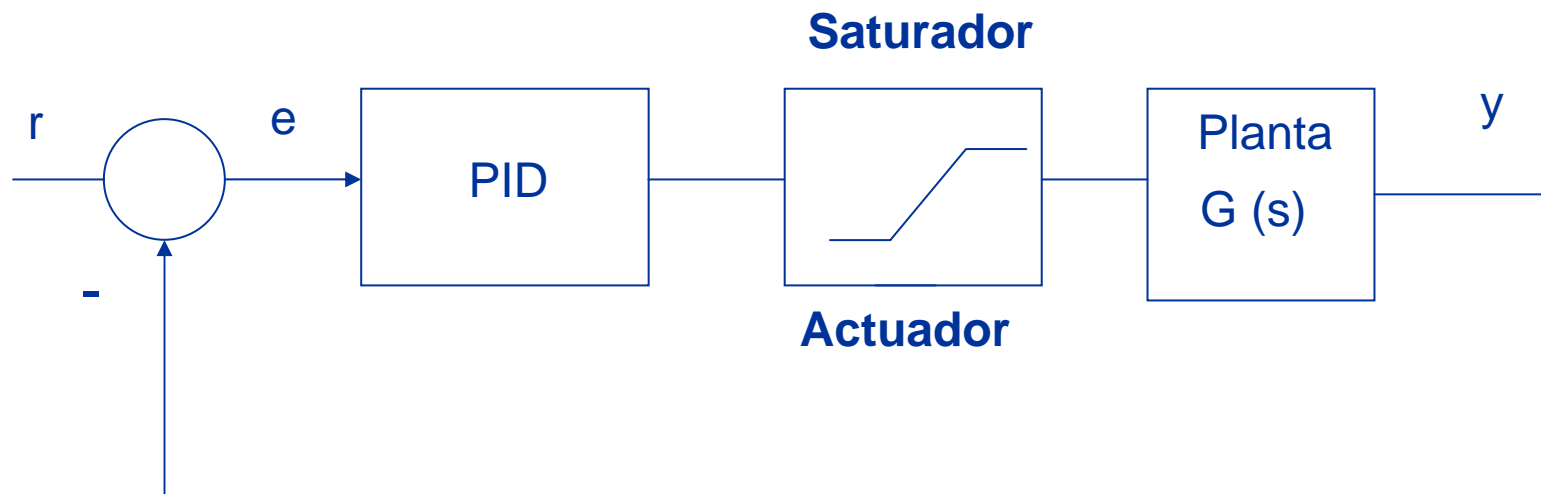
## I-PD:



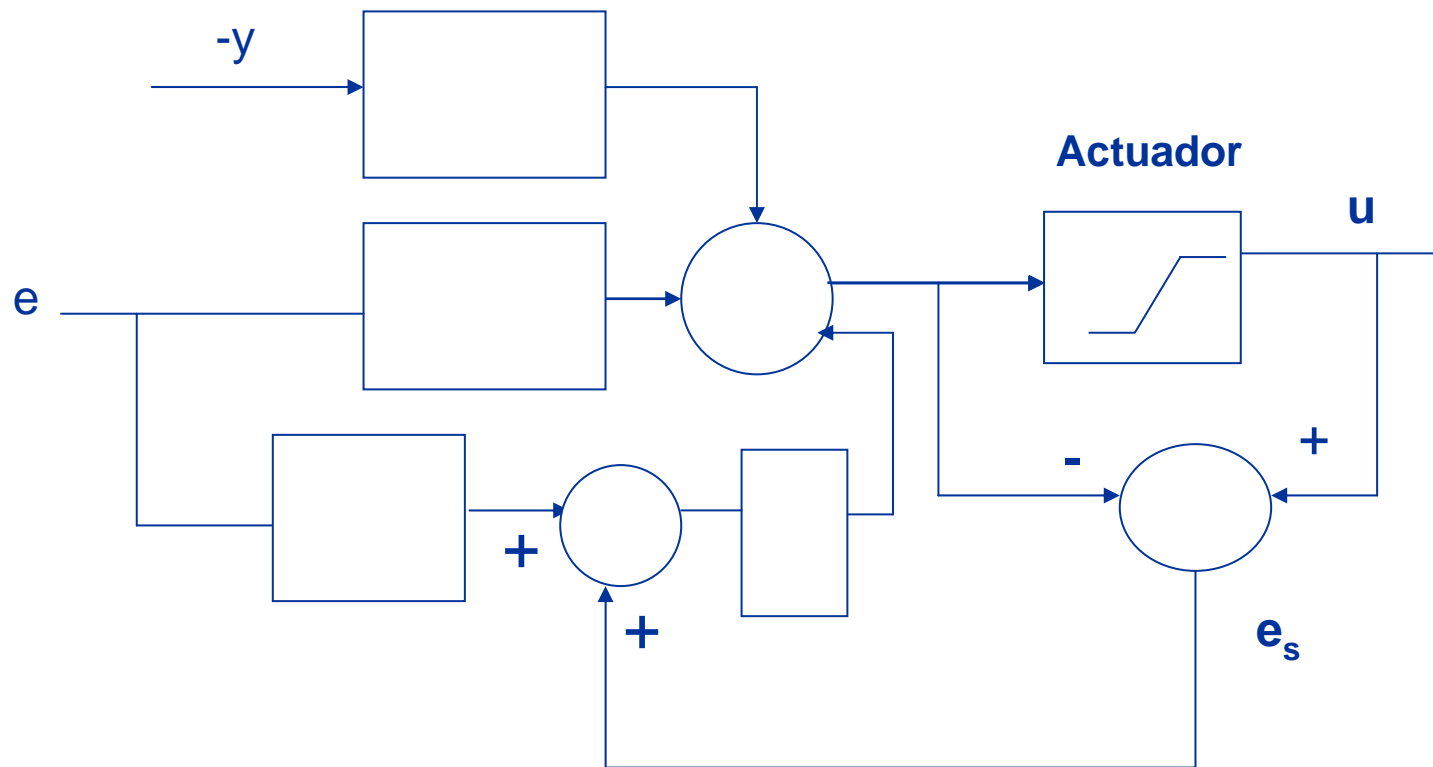
- En ausencia de perturbaciones y ruido:

$$\frac{Y(s)}{R(s)} = \left( \frac{1}{T_i s} \right) \frac{K_p G_p(s)}{1 + \left( 1 + \frac{1}{T_i s} + T_d s \right) K_p G_p(s)}$$

# Antiwindup en Controladores PID



# Antiwindup en Controladores PID: Solución



# Antiwindup en Controladores PID: Solución

